

福山コニカルタント 正員 〇・田中純輔  
山口大学工学部 正員 中川建治

1 猪之がき

図-1 に示すような塔状構造物の動的応答の解析方法として、偏微分方程式で表わされた運動方程式を  $x$  方向(柱軸方向)には差分式を適用して多点連立常微分方程式に変換する方法を採用する。

著者は、曲げ(あるいはせん断)抵抗を起して有効に作用する構造物の有効部材の断面積 $V$ を一定にした条件下で、常に固有周期 $T_i$  ( $i=1, 2, \dots$ ) の自束和  $\Gamma = \sum_i T_i^2$  を最小にする断面設計法を導いた(文献 1)を踏まえ、このようす断面変化を有する構造物は、特に地震波に対する曲げ応力度応答を断面が均一化したものであることを示す。さらに、等断面構造物の曲げ応力度応答が均一化されたのは、ビーグ応答スイクトルを有する地震波であるかを示す。

## 2 行列表示

図-1 に示すようを図げ振動を起す構造物を対象とする。地震加速度  $\ddot{x}(t)$  に対する応答  $y(t)$  (基礎に対する相対変位) は、つきの微分方程式の解である。

ここに、 $[m]$  は各点の集中質量  $m_i = m_i/g$  を対角要素とする対角行列。 $[R]$  は減衰力特性を表わし、 $[S]$  は強度特性を表わす *Stiffness Matrix* である。 $[S]$  をさらに行列の積に分解し、固有値行列  $[A]$  と固有モード  $[U]$  に分解させるとつきのようになります。

$I_i$  : 断面 2 次モーメント = ト

五：斷面係數

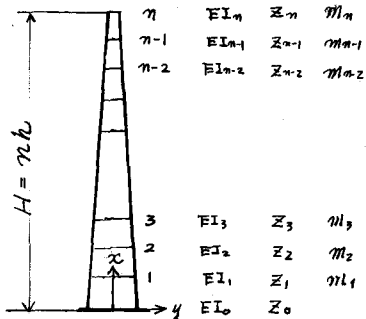
九：区间長

$$[B] = \begin{bmatrix} 1 & & & 0 \\ -2 & 1 & & \\ 1 & -2 & 1 & \\ 0 & 1 & -2 & 1 \end{bmatrix} \quad [D] = \begin{bmatrix} 12 & & & \\ 1 & & & \\ 0 & 1 & & \\ 0 & 0 & 1 & \end{bmatrix}$$

$$[S] = \frac{1}{k^2} [B]^T [D] [G] [D] [B] \quad \dots \quad \} \quad \dots \quad (2)$$

$$\left. \begin{aligned} [\psi]^T [s] [\psi] &= [\lambda] \\ [\psi]^T [m] [\psi] &= [\mathbb{E}] \end{aligned} \right\} \dots \quad (3)$$

$$\left[ \begin{array}{l} \Phi \\ \Phi^T \end{array} \right] = \left[ \begin{array}{l} \sqrt{m} \\ 1 \end{array} \right] \left[ \begin{array}{l} \Psi \\ \Xi \end{array} \right] \quad \left. \right\} \dots \dots \dots (4)$$



3. 動的応答、(応力度自乗和)  $\Psi(t) = [y] = [\Psi][\lambda]^{-1}$

動的不变性応答 $\{y\}$ として、各モード $\{\phi_i\}$ に振幅比としてそのモード $i$ に応じて固有値入の逆数を乗じたもの $\frac{1}{\lambda_i}\{\phi_i\}$ を仮定する。これは、 $T_0 = 2\pi/\sqrt{\lambda_i}$ という関係より、 $T_0\{\phi_i\}$ を仮定した時に至る。 $\{x\} = [G][D]^{-1}[B]\{y\}$ による。

さて、オフモードに応答  $\frac{d\theta}{dt}$  によるオフセットの曲げ剛力度を  $G_{ij}$  として、 $u_{ij} = \frac{1}{G_{ij}} \theta_{ij}$  を求めて、 $u_{ij}$  をすべて一定にするようとする。これは、つきのようす行列表示によって求められる。

$$U = \sum_{i,j} U_{ij} = \text{tr} [G_j^T [\sigma_{ij}]] \quad , \quad [y] = [\psi][\lambda]^{-1} = [S]^{-1}[\sqrt{m}][\phi] \quad , \quad \left. \begin{array}{l} \\ \end{array} \right\} \dots (5)$$

$$[G_{ij}] = \frac{1}{\pi} [G][D]^2[B]$$

$$\begin{aligned} \therefore U &= \frac{1}{h^2} \operatorname{tr} [ [\phi]^T [\sqrt{m}] [S]^{T^{-1}} [B]^T [D]^2 [G] [z]^{-2} [G] [D]^2 [B] [S]^{-1} [\sqrt{m}] [\phi] ] \\ &= h^2 \operatorname{tr} [ [\sqrt{m}] [B]^{-1} [z]^{-2} [B]^{T^{-1}} [\sqrt{m}] ] \\ &= h^2 \sum_{i=0}^{n-1} \frac{\alpha_{i+1}}{z_i^2} \quad \dots \dots \dots \quad (6) \end{aligned}$$

$$U_i = h^2 \alpha_{i+1} / z_i^2 \quad (8)$$

すこし、 $U_i$  を一定にすれば  $d_{i+1}/z_i^2 = \text{const}$  です。

集中質量  $m_i$  には、有効断面によるものと、付属物などの無効断面によるもののがあるが、 $m_i$  を固定して、式(7)の  $\partial K$  を  $\partial \Omega$  に定めると、 $U_i = \text{const}$  の解は、

$$Z_i = C_i t_i^d \quad \text{--- 漸近係数} \quad \left\{ \begin{array}{l} a \neq b \\ a < b \end{array} \right. , \quad t_i = \left\{ \frac{V}{h_{i+1}^{2d} r_i^c (C_i^a / C_{i+1}^a)^b} \right\}^{1/b} \left( \frac{(C_{i+1})^a}{C_i^a} \right)^{\frac{1}{2ad}} \quad (2)$$

とす。  $\sum T_i^2 = P$  を最小にする断面形状は、文献 1) の結果より

$$I_i = C_i \frac{t_i^{d_i}}{V} \quad \left. \begin{array}{l} \text{断面2次元-1:1} \\ \text{V} = h \sum_{i=1}^{n-1} r_i t_i^{d_i} \end{array} \right\} \text{の形で}, \quad t_j' = \left[ \frac{V}{h \sum_{i=1}^{n-1} r_i (d_{i+1} / r_i c_i)^{b/d_i}} \right]^{1/b} \left( \frac{d_{i+1}}{r_i c_i} \right)^{b/d_i} \quad \dots \quad (10)$$

である。一般に、 $2d = b + d'$  であるが、 $t'_j < t_j$  である。 $t_j$  は断面変化を示すパラメータ（例えば、煙突の傾斜）である。

$$4 \text{ 動的応答 } \psi(2) = [\psi][\lambda]^{-\frac{1}{2}}$$

各モード応答の振幅比を  $T_i \propto \frac{1}{\omega_{ni}}$  とし、 $\{\tilde{y}_i\} = \{\tilde{y}\} \frac{1}{\omega_{ni}}$  とすれば、上記の演算方法より

$$U = \sum_{i=0}^m u_i \quad , \quad u_i = \sum_{j=1}^n \sigma_j^{i+1} = \frac{1}{h} \frac{\text{Ex}_j^i}{\text{Ex}_0^i} \quad \dots \dots (11)$$

を得る。一般に  $I_i/Z_i^2 = \text{const}$  であるためには、  
等断面でなければならぬ。

5 計算例

計算例として、中部電力(旧)市火力発電所の高さ120mの鋼製煙突を対象にして、実断面と  $F_{min} (H_0 = \text{const})$  の断面形状を比較した。

参考文献 1) 中川：塔状構造物の固有周期  
：土木学会論文報告集第169号、1969年9月。

